

5
H-62



ОБЪЕДИНЕННЫЙ ИНСТИТУТ ЯДЕРНЫХ ИССЛЕДОВАНИЙ
ЛАБОРАТОРИЯ ВЫСОКИХ ЭНЕРГИЙ

В.А. Никитин

P-1476

НЕКОТОРЫЕ МЕТОДИЧЕСКИЕ ОСОБЕННОСТИ
ОПЫТА ПО $p-p$ УПРУГОМУ РАССЕЯНИЮ
С ИСПОЛЬЗОВАНИЕМ ВНУТРЕННЕЙ МИШЕНИ
СИНХРОФАЗОТРОНА

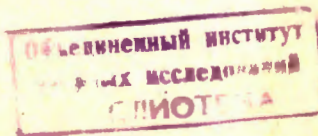
Дубна 1963

В.А. Никитин

Р-1476

2224/1-38.

НЕКОТОРЫЕ МЕТОДИЧЕСКИЕ ОСОБЕННОСТИ
ОПЫТА ПО Р-РУПРУГОМУ РАССЕЯНИЮ
С ИСПОЛЬЗОВАНИЕМ ВНУТРЕННЕЙ МИШЕНИ
СИНХРОФАЗОТРОНА



Дубна 1983

P - 1476

Никитин В.А.

Некоторые методические особенности опыта по $p\bar{p}$ упругому рассеянию с использованием внутренней мишени синхрофазотрона

В работе описывается метод математической обработки энергетических спектров протонов отдачи, идущих под фиксированным углом с внутренней мишени ускорителя. Обработка ведется на ЭВМ. Результат вычислений — сечение упругого $p\bar{p}$ рассеяния.

Препринт Объединенного института ядерных исследований.
Дубна, 1963 .

P - 1476

Nikitin V.A.

Some Technical Details of Elastic $p\bar{p}$ Scattering Experiment Employing an Internal Target,

A method is proposed for a mathematical analysis of the energy spectra of the recoil protons travelling at a fixed angle from the internal target of the accelerator. The data were analysed on the electronic computer. The purpose of our calculations is to find the magnitude of elastic $p\bar{p}$ scattering.

Preprint Joint Institute for Nuclear Research.
Dubna, 1963.

Введение

Опыты по упругому рассеянию частиц со временем знаменитых опытов Резерфорда играют принципиальную роль в физике элементарных частиц. Новейшее развитие теории — анализ амплитуды рассеяния в комплексной плоскости момента количества движения — получило, в частности, свое экспериментальное апробирование на данных по упругому рассеянию частиц. Фундаментальная гипотеза современной теории — причинность, лежащая в основе дисперсионных соотношений, требует дальнейшего экспериментального обоснования путем исследования амплитуды упругого рассеяния частиц.

Недавно в работах ^{/1,2,3/} была предложена новая методика исследования упругого $p-p$ рассеяния, заключающаяся в использовании внутренней мишени ускорителя и фотоэмulsionи в качестве регистратора протонов отдачи. В работе ^{/4/} доказывается эффективность нового метода для неограниченно больших энергий первичного пучка.

Все это делает актуальным дальнейшее обоснование методики, предложенной и частично описанной в работах ^{/1,2/}.

Математическая обработка результатов эмульсионных измерений

1. Формулировка задачи

Коротко рассматриваемая методика заключается в следующем. Решается задача измерения дифференциального сечения реакции $p+p \rightarrow p+p$ в интервале энергий первичного протона $3 \div 10$ Бэв. Особое внимание уделяется малым углам рассеяния — импульс протонов отдачи ~ 70 Мэв/с. Мишень — полиэтиленовая пленка толщиной 3 мк — помещена в прямолинейный участок ускорителя. Протоны отдачи регистрируются эмульсионными столпами, удаленными от мишени на расстояние ~ 3 м.

Результатом эмульсионных измерений является импульсный спектр частиц, идущих с мишени под определенным фиксированным углом. В этот спектр дают вклад каскадные частицы из ядер углерода. Как показано в работах ^{/1,3/}, углеродный фон может быть измерен отдельно и вычен. Оставшееся после вычитания распределение частиц по импульсам (или пробегам) есть спектр протонов отдачи от реакции упругого рассеяния $p+p \rightarrow p+p$. Полное число частиц в этом спектре пропорционально диф-

дифференциальному сечению упругого (pp) рассеяния в лабораторной системе координат $\left(\frac{d\sigma}{dp}\right)$ ^{x/} л.с. Однако в величину N необходимо внести некоторые поправки.

а) Мишень неоднородна по толщине (см. рис. 1). Участок a_1 имеет толщину ~ 3 мк, участок $a_2 \sim 8$ мк. Средний пробег протонов отдачи в нитях №2 ~ 25 мк, а в нитях №1 средний пробег зависит от угла вылета протона отдачи и лежит в пределах $80 \div 140$ мк. Импульсные распределения протонов отдачи от разных участков мишени по-разному зависят от угла наблюдения и существенно различны по форме. Таким образом возникает задача вычислить импульсный спектр протонов отдачи, идущих от разных участков мишени, и найти вклад указанных участков в основной наблюдаемый эффект (плёнка a_1).

б) Для малых импульсов отдачи (пробег в эмульсии ~ 50 мк) наблюдаемые спектры становятся настолько широкими, что заметная доля протонов попадает в область очень малых импульсов (и пробегов), где регистрация ведется с плохой эффективностью и, кроме того, велик фон испарительных частиц от ядер C^{18} . По этой причине целесообразно выбрать оптимальную границу обрезания спектра снизу, а на отброшенную часть ввести поправку.

Ниже выводятся формулы импульсных спектров протонов отдачи.

2. Вывод формулы спектра протонов отдачи

Пусть каждый элемент мишени излучает частицы с импульсом p и угловым распределением $f_p(\theta - \theta_p)$. Число протонов, попавших на просматриваемый участок эмульсии Δx с элемента мишени $\frac{de}{\theta_2(e)}$ (см. рис.2), есть

$$dN = \frac{de}{\theta_2(e) - \theta_1(e)} \int_{\theta_1(e)}^{\theta_2(e)} f_p(\theta - \theta_p) d\theta .$$

Со всей мишени число протонов с импульсом p есть

$$N(p) = \frac{1}{a(\theta_2(e) - \theta_1(e))} \int_0^a de \int_{\theta_1(e)}^{\theta_2(e)} f_p(\theta - \theta_p) d\theta ,$$

a - размер мишени по пучку. Практически интервал $\Delta\theta = \theta_2 - \theta_1$ очень мал, так как участок просматриваемой эмульсии $\Delta x = 1 \div 2$ мк, поэтому имеем

$$N(p) = \frac{1}{a} \int_0^a f_p(\theta_e - \theta_p) de ; \quad \theta_e = \frac{\theta_2(e) + \theta_1(e)}{2} . \quad (1)$$

Полезно провести некоторые преобразования.

^{x/} Сечение $\left(\frac{d\sigma}{dp}\right)$ л.с. связано хорошо известной формулой с сечением $\left(\frac{d\sigma}{dW}\right)$ с.п.м.,

обычно фигурирующим в теории.

Из геометрии имеем $d\ell = d\theta_e \frac{L}{\cos \theta_e} \approx d\theta_e \frac{L}{\cos \theta_0}$,
так как $\frac{a}{2} \ll 1$ (см. рис. 2).

$$x = \frac{a}{2} + 2 \operatorname{tg} \theta_0 ,$$

$$\Theta_2 = \arctg \frac{x}{\frac{a}{2}} \approx \arctg \left(\operatorname{tg} \theta_0 + \frac{a}{2x} \right) ,$$

$$\Theta_1 = \arctg \frac{x-a}{\frac{a}{2}} = \arctg \left(\operatorname{tg} \theta_0 - \frac{a}{2x} \right) ,$$

$$\Theta_2 \approx \theta_0 + \frac{a}{2x} \cos^2 (\operatorname{tg} \theta_0) \quad \left. \right\}$$

$$\Theta_1 \approx \theta_0 - \frac{a}{2x} \cos^2 (\operatorname{tg} \theta_0) \quad \left. \right\}$$

(2)

После преобразования формула (1) имеет вид:

$$N(M) = \frac{1}{a} \frac{L}{\cos \theta_0} \int_{\theta_0}^{\theta_2} f_p(\theta_e - \theta_p) d\theta_e . \quad (3)$$

Теперь найдем вид функции $f_p(\theta_e - \theta_p)$. Мы принимаем, что угловое распределение протонов отдачи, вылетающих из точки мишени, расположенной на глубине t , есть функция Гаусса с дисперсией $\sigma^2 = \chi(p) t + \alpha^2$

$$\chi(p) = \left[\frac{12(1-\varepsilon)M^2 E}{p \rho c} \right]^2 \cdot \frac{1}{t_0} = \frac{K}{p^4} . \quad (4)$$

Здесь константа 12 Мэв (вместо известной константы многократного рассеяния 21 Мэв) показывает, что нас интересует средняя арифметическая проекция угла многократного рассеяния на плоскость реакции $p+p \rightarrow p+p$. t_0 - радиационная длина материала мишени. ε - поправка, которая отлична от нуля для очень малых $\frac{E}{p_0}$. Например, согласно работе ^{15/}, для $C_6^{1/2}$, при $\frac{E}{t_0} = 10^3 \cdot \varepsilon = 0,14$; α^2 - угловая дисперсия пучка первичных протонов.

Функцию $f_p(\theta_e - \theta_p)$ получаем, как суперпозицию распределений Гаусса:

$$f_p(\theta_e - \theta_p) = \frac{1}{c} \int_0^1 \frac{1}{\sqrt{2\pi} \sqrt{\chi(p)t + \alpha^2}} e^{-\frac{(\theta_e - \theta_p)^2}{2(\chi(p)t + \alpha^2)}} dt .$$

Как показали конкретные вычисления, в нашей задаче необходимо было брать интегральный вид для $f_p(\theta_e - \theta_p)$. Использование простой функции Гаусса приводило к отличию от точного результата на заметную величину. Для удобства сравнения результатов расчёта с экспериментом полезно заменить угловую переменную θ на соответствующий импульс $k(\theta) f_p = \theta$. Это линейное соотношение вытекает из кинематики упругого $p-p$ рассеяния. Коэффициент пропорциональности $k(\theta)$ зависит от энергии первичного протона.

Интеграл в последней формуле берется по частям

$$f_{p\mu}(\xi - \mu) = \left\{ \sqrt{\mathcal{K}(p)} c_0 + \alpha^2 \cdot \frac{\alpha}{\sqrt{2\pi}} \exp \left[-\frac{k^2(\xi - \mu)^2}{2(\mathcal{K}(p)c_0 + \alpha^2)} \right] - \right.$$

$$-\frac{2\alpha}{\sqrt{2\pi}} \exp \left[-\frac{k^2(\xi - \mu)^2}{2\alpha^2} \right] - k/\xi - \mu \left[\Phi \left(\frac{k(\xi - \mu)}{\alpha} \right) - \right.$$

$$\left. \left. - \Phi \left(\frac{k/\xi - \mu}{\sqrt{\mathcal{K}(p)c_0 + \alpha^2}} \right) \right] \right\} \frac{k}{\mathcal{K}(p)c_0} \left(\frac{d\sigma}{dp} \right)_{p=p_\mu} ; \quad \Phi(x) = \frac{2}{\sqrt{2\pi}} \int_0^{x^2} e^{-z^2} dz .$$
(5)

Это есть импульсный спектр протонов отдачи с бесконечно малого элемента мишени dl ($\beta k = \theta_0$). b_0 - толщина мишени.

По сравнению с предыдущей формулой здесь еще дописан множитель $\left(\frac{d\sigma}{dp} \right) =$
 $= k \frac{d\sigma}{d\theta}$, который в общем случае есть функция импульса.

В нашем случае $\frac{d\sigma}{dp}$ оказалось почти постоянной величиной в интервале импульсов $50 < pc < 120$. На основании (2), (3) и (4) окончательно имеем формулу для вычисления спектра протонов отдачи:

$$\begin{aligned} N(p) &= \frac{1}{a} \frac{2k}{\cos k p_0} \int_{p_1}^{p_2} f_{p\mu}(\xi - \mu) d\xi \\ p_1 &= p_0 - \frac{a}{2\pi k} \cos^2 k p_0 \\ p_2 &= p_0 + \frac{a}{2\pi k} \cos^2 k p_0 \end{aligned} \quad \left. \right\} \quad (6)$$

Перечислим еще раз принятые здесь обозначения:

a - размер мишени-пленки вдоль пучка;

ξ - расстояние от мишени до эмульсии по нормали к пучку;

k - множитель, с помощью которого кинематическое соотношение угол-импульс для протона отдачи можно записать в виде:

$$kp = \theta ;$$

p_0 - импульс, определенный равенством

$$p_0 = \frac{\theta_0}{k} \quad (\text{см. рис.2});$$

$f_{p\mu}(\xi - \mu)$ (см. соотношение (5)).

Отметим, что спектр $N(p)$ протонов отдачи, наблюдавшихся под фиксированным углом к первичному пучку для малых p_0 ($pc \sim 60$ Мэв), несимметричен и максимум сдвинут относительно p_0 в сторону больших импульсов.

3. Вычисление поправки к наблюдаемому числу протонов отдачи

Формула (6) позволяет вычислить импульсный спектр протонов отдачи, родившихся в любой области мишени (см. рис.1). Относительный вклад отдельных областей мишени (a_1 - основная мишень, все остальные части мы называем в дальнейшем коротко "нити") вычисляется с привлечением пространственного распределения ускоренного пучка и результатов взвешивания основной мишени и нитей на микровесах. Мы определяли также полное число взаимодействий первичного пучка в мишени и в нитях, измеряя наведенную β -активность C'' . Типичные импульсные спектры протонов отдачи приведены на рис.3 и 4. N_0 - спектр от основной мишени a_1 , N_Σ - суммарный вклад всех остальных участков. Некоторая нерегулярность кривой на рис.3 обвязана неточности вычисления интеграла в формуле (6). Как указывалось выше, необходимо вычислить поправку на нити и на обрезанную часть спектра к наблюдаемому числу протонов отдачи. Кривые $N(M)$ позволяют это сделать.

Легко получить следующую формулу поправки:

$$N = N_{\text{наблюд.}} \cdot \left\{ ; \quad \left\{ = \frac{1 + \lambda_3}{1 - \lambda_1 + \lambda_3 (1 - \lambda_2)} \right. \right\} \quad (7)$$

Здесь приняты следующие обозначения:

$$\lambda_1 = \frac{\int_{P_h}^{\infty} N_0 dp + \int_{P_h}^{\infty} N_\Sigma dp}{\int_{P_h}^{\infty} N_0 dp} \quad \text{- обрезание спектра основной мишени,}$$

$$\lambda_2 = \frac{\int_{P_h}^{\infty} N_\Sigma dp + \int_{P_h}^{\infty} N_\Sigma dp}{\int_{P_h}^{\infty} N_\Sigma dp} \quad \text{- правая и левая границы обрезания,}$$

$$\lambda_3 = \frac{\int_{P_h}^{\infty} N_\Sigma dp}{\int_{P_h}^{\infty} N_\Sigma dp} \quad \text{- обрезание спектра нитей,}$$

$$\text{относительный вклад нитей } \lambda_3 = \frac{\int_{P_h}^{\infty} N_\Sigma dp}{\int_{P_h}^{\infty} N_0 dp},$$

$$N_{\text{наблюд.}} \quad \text{- число протонов отдачи в наблюдаемой части спектра.}$$

$$N = \int_{P_h}^{\infty} N_0 dp + \int_{P_h}^{\infty} N_\Sigma dp \quad \text{- искомая величина, связанная с сечением } \frac{d\sigma}{dp} \quad \text{формулой:}$$

$$N = A \int_{P_h}^{\infty} \frac{d\sigma}{dp} N(p) dp = A \frac{d\sigma}{dp}. \quad (8)$$

Здесь A коэффициент пропорциональности, определяемый мониторированием первичного пучка.

Ошибка поправки $\left\{ \right\}$ вычисляется по обычной формуле

$$\Delta \left\{ \right\} = \sqrt{\sum_{ij} \frac{\partial \left\{ \right\}}{\partial \lambda_i} \frac{\partial \left\{ \right\}}{\partial \lambda_j} \sigma_{ij}}, \quad (9)$$

$$\sigma_{ij} = \frac{\partial \lambda_i}{\partial \lambda_j} \frac{\partial \lambda_j}{\partial \lambda_i} = \rho_{ij} \Delta \lambda_i \Delta \lambda_j.$$

\mathbf{B} - матрица ошибок, λ_i - ошибка параметра λ_i . δ_{ij} обычно называют коэффициентом корреляции параметров λ_i и λ_j . Эти величины также могут быть оценены на основании кривых $N(\mu)$. Ошибка параметров λ_1 и λ_2 определяется ошибкой положения максимума экспериментальной гистограммы распределения $N(\mu)$, и, следовательно, точностью, с которой известны границы обрезания μ_1^*, μ_n^* .

В таблице 1 для иллюстрации описанного метода приведены некоторые цифры, фактически полученные в одном из наших экспериментов (энергия первичного пучка 6 Бэв).

Таблица 1

R	μ	θ°	λ_1	λ_2	λ_3	ξ	$(\sigma)N$
M_eV	$\frac{M_eV}{c}$	с.п.м.					
37,5	59,3	2,30	$0,366 \pm 0,052$	$0,696 \pm 0,19$	$1,681 \pm 0,138$	1039 ± 107	
55,8	68,5	2,50	$0,144 \pm 0,010$	$0,533 \pm 0,037$	$1,235 \pm 0,025$	1028 ± 59	
75,8	75,7	2,87	$0,081 \pm 0,008$	$0,379 \pm 0,009$	$1,132 \pm 0,013$	1062 ± 56	
109,3	84,7	3,12	$0,067 \pm 0,007$	$0,354 \pm 0,037$	$1,113 \pm 0,016$	1109 ± 52	
136,0	90,5	3,87	$0,062 \pm 0,004$	$0,333 \pm 0,037$	$1,104 \pm 0,013$	1284 ± 69	

Как показывает эта таблица, для углов $\theta_{c.p.m.} \leq 3^\circ$ поправка ξ достигает значительной величины, и вычисление ее должно быть сделано с максимальной осторожностью.

Наиболее слабым местом приведенных здесь расчётов является правильный выбор углового распределения многократно рассеянных частиц: функция f_p в формуле (1). В настоящей работе мы предположили, что угловое распределение пучка частиц, прошедших мишень определенной толщины t , есть функция Гаусса, дисперсия которой определяется экспериментально (окончательное выражение для f_p даётся формулой (5), дисперсия распределения f_p определяется параметром K).

Однако ясно, что для малых t и больших углов рассеяния частицы испытывают не многократное рассеяние, а последовательность нескольких однократных рассеяний. В этом случае сделанное нами предположение требует проверки.

С этой целью был сделан приближенный расчёт поправки ξ , в качестве f_p

было использовано дифференциальное сечение кулоновского рассеяния /формула Резерфорда/. Эти оценки показали, что $\frac{d\sigma}{dp}$, вычисленная по формулам /6/, /7/, может превышать истинную поправку на несколько процентов для $p_0 < 70$ Мэв/с.

4. Вычисление $\frac{d\sigma}{dp}$ по методу наименьших квадратов

Описанный выше метод введения поправки на нить и на обрезание имеет следующие недостатки:

а) ошибка в положении границ обрезания значительно увеличивает ошибку результата;

б) нет критерия правильности выбора функции f_p и константы рассеяния /или радиационной длины материала мишени/;

в) в результате вычислений получается не само сечение $\frac{d\sigma}{dp}$, а средняя величина $\frac{d\sigma}{dp}$ по значительному интервалу импульсов /см.(8)/, что лимитирует угловое разрешение метода;

г) коэффициенты корреляции f_{ij} в формулах (9) плохо известны, поэтому ошибка поправки $\Delta \frac{d\sigma}{dp}$ вычисляется приближенно.

Эти недостатки мы устранили, применив другой способ обработки экспериментальных спектров протонов отдачи.

Разложим искомое сечение в ряд Тейлора, ограничившись двумя членами

$$\frac{d\sigma}{dp} = \sigma_0 + \lambda (p - p_0)$$

Подставим это выражение в формулу (5). Спектр протонов отдачи, вычисляемый по формуле (7), теперь зависит от нескольких параметров

$$N(p) = N_0(p, p_0, K, \sigma_0, \lambda) + N_\Sigma(p, p_0, K, \sigma_0, \lambda) . \quad (10)$$

Все четыре параметра $p_0, K, \sigma_0, \lambda$ могут быть найдены по методу наименьших квадратов из экспериментального спектра $N_{\text{эксп.}}(p)$ протонов отдачи. Согласие оптимального спектра $N(p)$ с экспериментальной кривой $N_{\text{эксп.}}(p)$ оценивается количественно по критерию χ^2 . Хорошее согласие говорит о правильности выбора функции f_p в формуле (1).

Результаты вычисления наилучшей кривой $N(p)$ по методу наименьших квадратов иллюстрируются рис.5 и 6.

В настоящем эксперименте параметр K (см. формулу (4)) определялся из совокупности экспериментальных данных, полученных при энергиях первичного протона 8 и 10 Бэв, и был известен с хорошей точностью. Параметр λ определялся по предва-

рительным данным о сечении $\frac{d\sigma}{dp}$ и тоже был известен с достаточной точностью. Таким образом, в окончательном расчёте по методу наименьших квадратов в теоретическом спектре (10) только два параметра μ_0 и δ_0 подлежали определению. Этот метод расчета оказался весьма эффективным для спектров с $\mu_0 \leq 10$ Мэв/с. Ошибка результата лишь незначительно превосходила статистическую ошибку общего числа частиц в спектре. Угловая разрешающая способность эксперимента определяется ошибкой параметра μ_0 . Схема расчёта, описанная в пункте 3, дает значительно большую ошибку для спектра, где велика поправка ξ . Сравнительные результаты даны в таблице II.

Т а б л и ц а II

Метод обработки	R_{MK}	μ_0 Мэв	θ^0 град.м.	$(\delta_0) N$
Метод наименьших квадратов	35,7	59,2 ± 0,7	2,3 ± 0,025	III 8 ± 72
	55,8	69,2 ± 0,5	2,5 ± 0,018	I 032 ± 55
	75,8	76,5 ± 0,4	2,87 ± 0,014	I 070 ± 56
Введение поправки по формуле /6-7/	35,7	59,3 ± 2,0	2,3 ± 0,3	I 039 ± 107
	55,8	68,5 ± 1,5	2,5 ± 0,25	I 028 ± 59
	75,8	75,7 ± 1,5	2,8 ± 0,21	I 062 ± 56

Отметим, что применение метода наименьших квадратов лишь частично решает вопрос о правильности выбора функции. Действительно, хвосты экспериментальных спектров имеют большие статистические ошибки, и функция f^2 ничего не говорит о степени согласия теоретической и экспериментальной кривой. Мы допускаем, что в нашем эксперименте из-за этого обстоятельства возможна систематическая ошибка в несколько процентов для спектров с 50 Мэв/с $\leq \mu_0 \leq 70$ Мэв/с.

З а к л ю ч е н и е

Резюмируем коротко результаты работы.

Опыт по упругому $p-p$ рассеянию на внутренней полиэтиленовой мишени в барной области энергий приводит к задаче вычислить дифференциальное сечение $(\frac{d\sigma}{dp})_{pp}$ по наблюдаемому спектру протонов отдачи под определенным углом.

Этот спектр может быть удовлетворительно описан теоретической формулой, учитывющей следующие факторы:

- многократное рассеяние протонов отдачи в веществе внутренней мишени;

- б) геометрия мишени и поддерживающих ее нитей;
- в) угловой разброс первичного пучка;
- г) для $\text{P}_\theta > 200$ Мэв/с становится заметным страгглинг в эмульсии.

В настоящем опыте мы работали с мишенью толщиной ~ 3 мк и размером по пучку ~ 1 см. Каждый импульсный спектр протонов отдачи строился на статистике ~ 1000 частиц (после вычитания углеродного фона). При этих условиях мы можем заключить:

- а) обработка спектров с $\text{P}_\theta > 100$ Мэв/с не представляет трудностей;
- б) вычисление $(\frac{dN}{dp})_{pp}$ для спектров 59 Мэв/с $\leq P_\theta \leq 70$ Мэв/с может содержать систематическую ошибку в несколько процентов;
- в) проведение экспериментов с относительной точностью в $\frac{2}{20} = 3\%$ вплоть до $\text{P}_\theta = 80$ Мэв/с требует использования мишени толщиной ~ 1 мк. Поддерживающие нити не должны содержать водород.

Настоящая работа практически невыполнима без современной вычислительной техники. Автор благодарен сотрудникам ВЦ ОИЯИ Т. Рыльцовой, И. Поповой и Л. Смириковой за помощь в программировании.

Большой вклад в работу внесли В. Свиридов, Л. Кириллова и М. Шафранова.

Л и т е р а т у р а

1. B.Bekker et al 1962 High Energy Conf. CERN, p.582.
2. В.А. Никитин и др. Препринт ОИЯИ 1084, Дубна, 1962 ; ПТЭ (в печати).
3. Л.Ф. Кириллова и др. Препринт ОИЯИ Д-1329, Дубна, 1963 ; ЖЭТФ (в печати).
4. В.А. Никитин и др. ЖЭТФ (в печати).
5. Barkas UKRL - 8030(1958).

Рукопись поступила в издательский отдел
27 ноября 1963г.

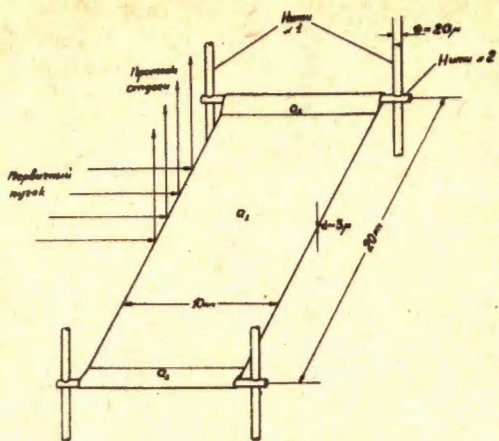


Рис. 1. Схема мишени - пленки.

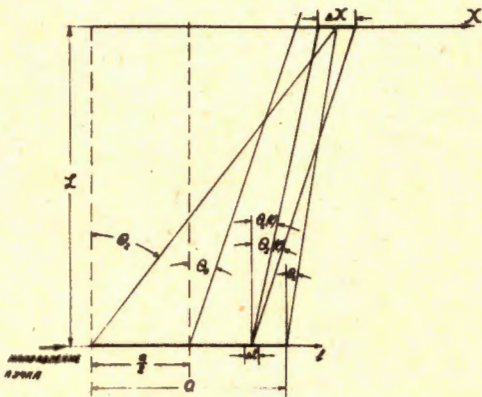


Рис. 2. Чертеж к выводу формулы (8).

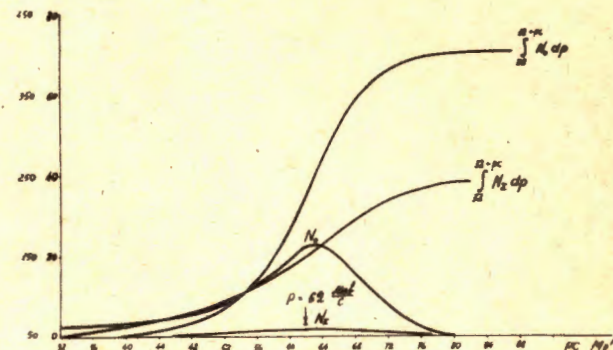
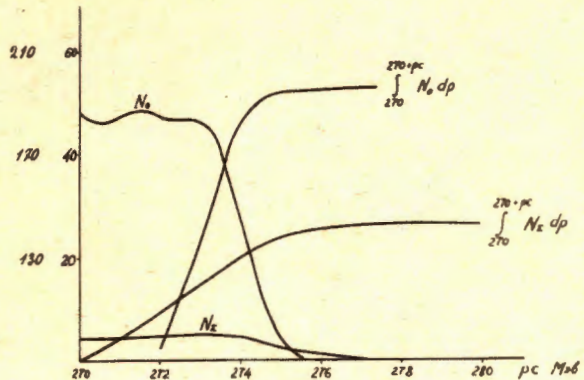


Рис. 3 и 4. Теоретический импульсный спектр протонов отдачи от мишени 6N_0 и от нитей N_Σ . Шкала слева для функции $\int_a^{pC} N_0(z) dz$.

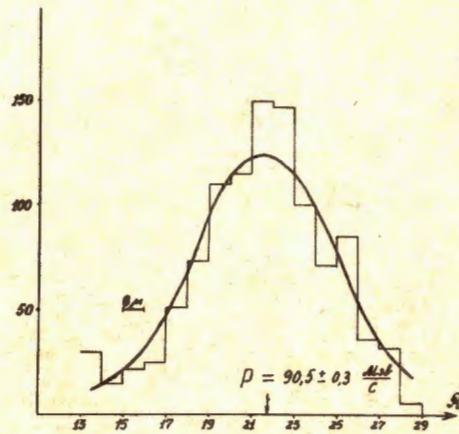
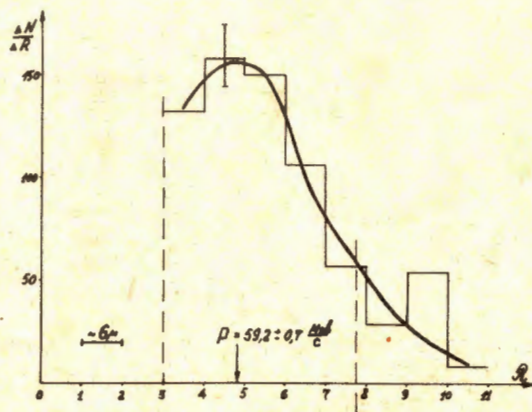


Рис. 5 и 6. Экспериментальный спектр по пробегам в эмульсии протонов отдачи (гистограмма). Плавная кривая – теоретический спектр с оптимальными параметрами.